

01;05

# Мартенситная релаксация напряжений и деформационные эффекты в мембранах из материалов с памятью формы

© Г.А. Малыгин

Физико-технический институт им. А.Ф. Иоффе Российской академии наук,  
194021 Санкт-Петербург, Россия  
e-mail: malygin.ga@mail.ioffe.ru

(Поступило в Редакцию 9 сентября 2002 г.)

С помощью теории размытых мартенситных переходов теоретически проанализированы мартенситное превращение и релаксация напряжений в нагруженной постоянным давлением плоской круглой мембране из материала с памятью формы. В результате расчета найден пластический прогиб мембраны в зависимости от температуры и величины приложенного к мембране давления.

## Введение

Металлические сплавы с эффектом памяти формы (ЭПФ) обладают уникальными деформационными свойствами, а именно способностью обратимо пластически деформироваться и восстанавливать исходную (до деформации) форму [1–3]. Вследствие указанных свойств они нашли применение в ортопедии [4] и при создании различных технических устройств [5]. В последнее время сплавы с ЭПФ стали рассматриваться также на предмет их использования в качестве активных элементов микродатчиков и микроприводов (актуаторов) [6–9], например в микроэлектромеханических системах [10].

Необычные свойства материалов с памятью формы обусловлены протекающими в них структурными превращениями мартенситного типа и чувствительностью превращений к температуре и механическим напряжениям. Для расчета функциональных характеристик устройств и элементов из материалов с ЭПФ необходимо знать связь между деформациями материала и приложенными к нему механическими напряжениями при разных температурах. Эта связь может быть установлена эмпирически или с помощью соответствующей теории структурных превращений мартенситного типа. Поскольку указанные превращения относятся к фазовым переходам первого рода, полномасштабная теория которых в настоящее время отсутствует, то расчет характеристик устройств из материалов с ЭПФ производится обычно на основе полуэмпирических моделей [11].

В настоящей работе расчет мартенситной релаксации напряжений и обратимой пластической деформации (прогиба) нагруженных постоянным давлением мембран из сплавов с ЭПФ сделан с помощью развитой недавно феноменологической теории размытых мартенситных превращений в этих материалах [12–14]. Теория базируется на термодинамических аргументах и рассматривает мартенситный переход как последовательность фазовых равновесий, зависящих от температуры и приложенного к материалу механического напряжения. Это позволяет найти объемную долю мартенсита в материале и его пластическую деформацию в зависимости от темпера-

туры и напряжения во всем диапазоне их изменения, в том числе и при неоднородном характере распределения напряжений в материале. В работе с помощью теории размытых мартенситных переходов теоретически рассчитан пластический прогиб мембраны в зависимости от ее радиуса, температуры и давления.

## Упругий изгиб мембраны

Рассмотрим защемленную по контуру круглую плоскую мембрану толщиной  $h$  и радиусом  $R \gg h$ . Уравнение для углов поворота  $\omega_e$  ее плоских сечений при упругом изгибе мембраны под действием приложенного к ней постоянного давления  $P$  имеет вид [15,16]

$$\frac{d}{dr} \left[ \frac{1}{r} \frac{d}{dr} (\omega_e r) \right] = -\frac{r}{2D} P, \quad D = \frac{Eh^3}{12(1-\nu^2)}, \quad (1)$$

где  $r$  — расстояние от центра мембраны,  $E$  — модуль упругости,  $\nu$  — коэффициент Пуассона.

Интегрируя уравнение (1) дважды, получаем зависимость угла поворота от радиуса

$$\omega_e(r) = C_1 r + C_2 r^{-1} - \frac{r^3}{16D} P = \frac{P}{16D} r(R^2 - r^2). \quad (2)$$

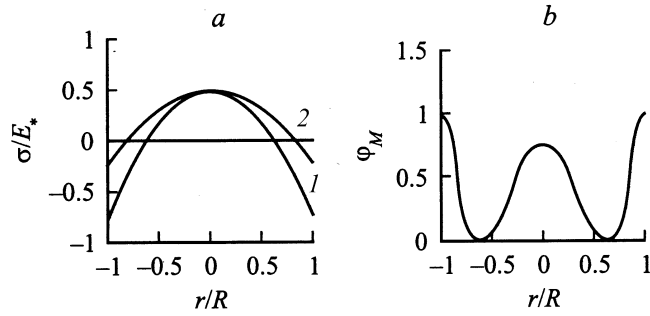
Здесь  $C_1 = PR^2/16D$  и  $C_2 = 0$  — постоянные интегрирования, определяемые из условий  $\omega_e(0) = \omega_e(R) = 0$ . Поскольку  $\omega_e = dw_e/dr$ , то упругий прогиб мембраны равен

$$w_e(r) = C_3 + \int \omega_e dr = -\frac{P}{64D} (R^2 - r^2)^2. \quad (3)$$

Постоянная интегрирования  $C_3 = -PR^4/64D$  находится из условия  $w_e(R) = 0$ .

Принимая во внимание выражения для радиальных и тангенциальных деформаций в мембране

$$\begin{aligned} \varepsilon_r &= (d\omega_e/dr)z = -\frac{3}{4} P \left( \frac{R}{h} \right)^2 \left[ 1 - 3 \frac{r^2}{R^2} \right] \frac{z}{h}, \\ \varepsilon_t &= (\omega_e/r)z = -\frac{3}{4} P \left( \frac{R}{h} \right)^2 \left[ 1 - \frac{r^2}{R^2} \right] \frac{z}{h}, \end{aligned} \quad (4)$$



**Рис. 1.** Распределение радиальных (1) и тангенциальных (2) изгибных напряжений (а) и мартенсита (b) в нижнем поверхностном слое нагруженной давлением мембраны.

где  $z$  — расстояние от нейтральной плоскости мембраны, получаем распределения в ней соответствующих напряжений [16]

$$\begin{aligned} \sigma_r &= \frac{E}{1-\nu^2}(\varepsilon_r + \nu\varepsilon_t) \\ &= -\frac{3}{4}P\left(\frac{R}{h}\right)^2\left[1 + \nu - (3 + \nu)\frac{r^2}{R^2}\right]\frac{z}{h}, \\ \sigma_t &= \frac{E}{1-\nu^2}(\varepsilon_t + \nu\varepsilon_r) \\ &= -\frac{3}{4}P\left(\frac{R}{h}\right)^2\left[1 + \nu - (1 + 3\nu)\frac{r^2}{R^2}\right]\frac{z}{h}. \end{aligned} \quad (5)$$

На рис. 1,а показано распределение радиальных (кривая 1) и тангенциальных (кривая 2) напряжений в нижнем поверхностном слое мембраны ( $z = -h/2$ ) в координатах  $\sigma_r/E_* - r/R$  при  $h/R = 0.1$ ,  $P/E_* = 10^{-2}$ ,  $\nu = 0.3$ , где  $E_* = (h/R)^2E$  — эффективный модуль упругости мембраны. Поскольку давление приложено в направлении отрицательных значений  $z$ , то центральная часть нижней поверхности мембраны растянута, а периферийная сжата. Положенные в основу вывода уравнений (1)–(5) гипотеза плоских сечений и доминирования изгибных деформаций предполагает, что прогиб мембраны должен быть значительно меньше ее толщины  $w_e(R) \ll h$ . Это условие определяет рабочий диапазон прикладываемых к мембране давлений  $P \ll (16/3)(h/R)^2E_*$ . При  $h/R = 0.1$  получаем  $P/E_* \ll 5 \cdot 10^{-2}$  или  $P/E \ll 5 \cdot 10^{-4}$ .

### Мартенситная релаксация напряжений в мембране

Если мембрана изготовлена из сплава с ЭПФ, то приложение к ней давления  $P$  в диапазоне температур мартенситного превращения приведет к релаксации в ней упругих напряжений и к пластической деформации мембраны, т.е. к ее дополнительному пластическому (но обратимому при снятии давления) прогибу. Задача

работы состоит в нахождении закона распределения этого прогиба в зависимости от радиуса мембраны. Для этого необходимо знать связь между пластической деформацией мембраны и приложенным к ней напряжением (давлением).

Эта связь, согласно теории размытых мартенситных переходов, определяется законом фазового равновесия [12–14]

$$\varphi_M(T, \tau) = \left[1 + \exp\left(\frac{\Delta U}{kT}\right)\right]^{-1}. \quad (6)$$

Здесь  $\varphi_M$  — объемная доля мартенсита в материале, претерпевающем мартенситное превращение;  $\Delta U = \omega\Delta u$  — изменение внутренней энергии материала при переходе его элементарного объема  $\omega$  из аустенитного в мартенситное состояние;

$$\Delta u = q\frac{T - T_c}{T_c} - \xi_{ik}\tau_{ik} \quad (7)$$

— изменение внутренней энергии единицы объема материала мембраны при таком переходе;  $q$  — теплота перехода;  $T$  — температура;  $T_c$  — критическая (характеристическая) температура мартенситного превращения в отсутствие механического напряжения  $\tau_{ik}$ ;  $\xi_{ik}$  — спонтанные сдвиговые деформации решетки при ее структурной перестройке;  $k$  — постоянная Больцмана. Предполагая, что пластическая (мартенситная) релаксация напряжений в мембране определяется максимальными касательными напряжениями  $\tau = (\sigma_1 - \sigma_3)/2$ , где  $\sigma_1 = \sigma_r$ ,  $\sigma_2 = \sigma_t$ ,  $\sigma_3 = \sigma_z = 0$  — главные напряжения, получаем при доминировании одного варианта мартенсита в материале ( $\xi_{ik} \equiv \xi$ ) распределение его в мембране

$$\begin{aligned} \varphi_M(r, z, P, T) \\ = \left\{1 + \exp\left[B\left(\frac{T - T_c}{T_c} - \frac{m\xi|\sigma_r(r, z, P)|}{2q}\right)\right]\right\}^{-1}, \end{aligned} \quad (8)$$

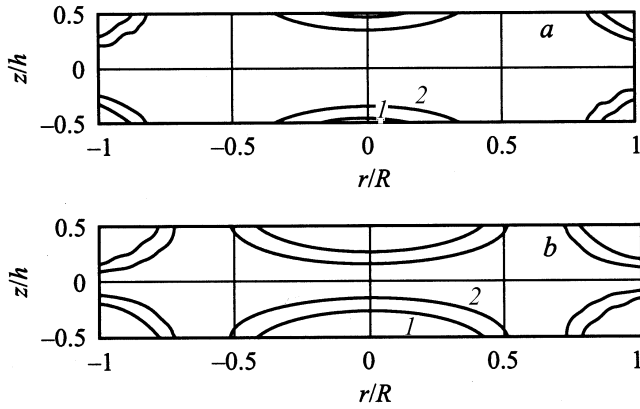
где  $B = \omega q/kT \approx \omega q/kT$ ;  $m$  — ориентационный фактор, зависящий от угла между плоскостью и направлением сдвига  $\xi$  и нормалью к плоскости действия напряжений  $\sigma_r$ ; при записи (8) были приняты во внимание выражения (5)–(7).

Для дальнейших расчетов удобнее записать соотношение (8) в безразмерных переменных

$$\begin{aligned} \varphi_M(\bar{r}, \bar{z}, p, t) = \left\{1 + \exp\left[B(t - 1 - ma|S_r(\bar{r}, \bar{z}, p)|)\right]\right\}^{-1}, \\ \bar{r} = \frac{r}{R}, \quad \bar{z} = \frac{z}{h}, \quad p = \frac{P}{E_*}, \quad t = \frac{T}{T_c}, \quad a = \frac{\xi E_*}{2q}, \end{aligned}$$

$$\frac{\sigma_r}{E_*} = S_r(\bar{r}, \bar{z}, p) = -\frac{3}{4}p\left(\frac{R}{h}\right)^2\left[1 + \nu - (3 + \nu)\bar{r}^2\right]\bar{z}. \quad (9)$$

На рис. 1,б показано распределение мартенсита в поверхностном слое мембраны ( $z/h = -0.5$ ) в зависимости от радиуса согласно (9) ( $B = 50$ ,  $a = 1$ ,  $m = 0.5$ ,



**Рис. 2.** Распределение мартенсита в радиальном сечении мембраны при температурах  $T = 1.1T_c$  (a) и  $1.05T_c$  (b) и давлении  $P = 10^{-2}E_*$ . Сечение показано в соотношении  $h/R = 0.2$ .

$t = 1.1$ ,  $p = 10^{-2}$ ,  $h/R = 0.1$ ), соответствующее распределению в ней радиальных напряжений (рис. 1, a). Видно, что мартенсит образуется в местах максимальных значений напряжений в центральной части мембраны и на ее периферии, где она закреплена. На рис. 2, a и b показано распределение мартенсита в радиальном сечении мембраны при указанных параметрах и двух температурах  $T = 1.1T_c$  и  $1.05T_c$ . Контурсы 1 и 2 на этих рисунках соответствуют объемным долям мартенсита  $\varphi_M = 0.67$  и  $0.33$ . Очевидно, что понижение температуры и повышение давления приводят к переходу все большего объема материала мембраны в мартенситное состояние.

## Пластический прогиб мембраны

Связанная с образованием мартенсита локальная пластическая деформация мембраны равна

$$\varepsilon_r^M(r, z, P, T) = [m\xi\varphi_M(r, z, P, T, m) - m\xi\varphi_M(r, z, P, T, -m)]\text{sign}(\sigma_r). \quad (10)$$

Формула (10) написана с учетом того, что в отсутствие напряжения (давления) пластическая деформация мембраны также отсутствует несмотря на образование в ней мартенсита, поскольку мартенсит находится в сдвойникованном состоянии. Приложение напряжения, согласно (10), приводит к раздвойникованию мартенсита, т.е. к увеличению варианта мартенсита с ориентацией  $m$  и к исчезновению мартенсита с ориентацией  $-m$ . В результате возникает пластическая деформация мембраны дополнительно к ее упругой деформации.

На рис. 3 кривая 1 показывает зависимость упругой деформации  $\varepsilon_r^e$  от радиуса  $r$  в поверхностном слое мембраны ( $z = -h/2$ ) согласно (4) при указанных выше

параметрах. Кривые 2–4 демонстрируют соответствующее распределение в поверхностном слое пластических деформаций согласно (10) при различных температурах и  $\xi = 0.1$ . Пластические деформации максимальны в местах, где радиальные напряжения имеют максимальные значения, т.е. в центре мембраны и на ее контуре. Согласно (10), пластическая деформация мембраны ограничена величиной  $m\xi = 0.05$ . Из рис. 3 видно, что при давлении  $P = 10^{-2}E_*$  и температуре  $T = 1.05T_c$  она в указанных областях достигает предельного значения и существенно превышает упругую деформацию мембраны в этих местах.

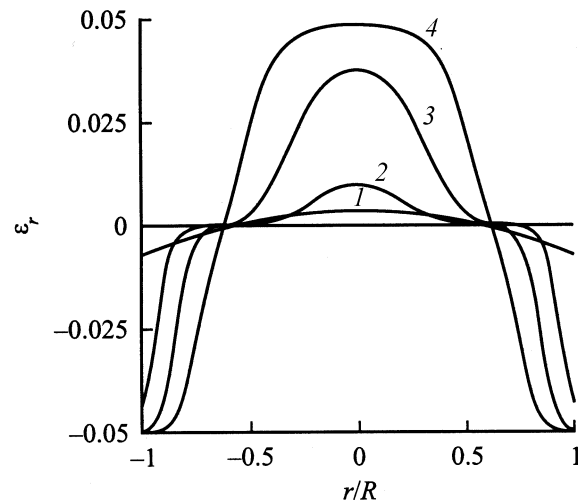
Для нахождения пластического прогиба мембраны в целом усредним радиальные деформации по толщине мембраны. Используя обозначения (9) и интегрируя, получаем

$$\varepsilon_r^M(\bar{r}, p, t) = 2 \int_0^{1/2} \varepsilon_r^M(\bar{r}, \bar{z}, p, t) d\bar{z} = \frac{2\xi}{aB|S_r(\bar{r}, p)|} \times \ln \left[ 1 + \left( \frac{\text{sh}(maB|S_r(\bar{r}, p)|/4)}{\text{ch}(B(t-1)/2)} \right)^2 \right] \text{sign}(\sigma_r). \quad (11)$$

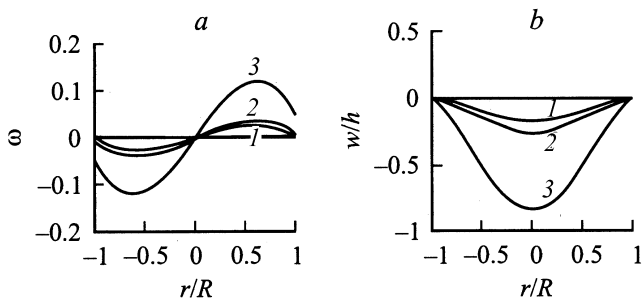
Далее, используя связь между углами поворота сечений мембраны и радиальными деформациями  $\xi_r^M(\bar{r}, p, t) = (h/2)d\omega_M/dr$ , находим зависимость пластического угла поворота мембраны  $\omega_M$  от ее радиуса

$$\omega_M(\bar{r}, p, t) = \left( \frac{R}{h} \right) \int_0^{\bar{r}} \varepsilon_r^M(\bar{r}, p, t) d\bar{r}. \quad (12)$$

При записи (12) использовано граничное условие  $\omega_M = 0$  при  $r = 0$ . На рис. 4, a представлены зависимости  $\omega_M(\bar{r})$  при двух температурах  $T = 1.1T_c$  и



**Рис. 3.** Зависимость от радиуса упругих (1) и пластических (2–4) радиальных деформаций в нижнем поверхностном слое мембраны при температурах  $T = 1.1T_c$  (2),  $1.05T_c$  (3) и  $T_c$  (4).



**Рис. 4.** Зависимости от радиуса упругих (1) и пластических (2, 3) углов поворота сечений (а) и прогибов (b) мембраны при температурах  $T = 1.1T_c$  (2) и  $1.05T_c$  (3).

$1.05T_c$  и давлении  $P = 10^{-2}E_*$ . Кривая 1 демонстрирует зависимость угла упругого поворота сечений мембраны от радиуса  $\omega_e(\bar{r})$  согласно (2) при указанном давлении. В отличие от упругого поворота пластический поворот на контуре мембраны не равен нулю, так как на краях мембраны вследствие мартенситного превращения образуется пластический шарнир.

Поскольку  $\omega_M = dw_M/dr$ , то зависимость пластического прогиба мембраны  $w_M$  от радиуса мембраны определяется интегралом

$$\bar{w}_M(\bar{r}, p, t) = \frac{w_M(\bar{r}, p, t)}{h} = \left(\frac{R}{h}\right) \int_0^{\bar{r}} \omega_M(\bar{r}, p, t) d\bar{r}. \tag{13}$$

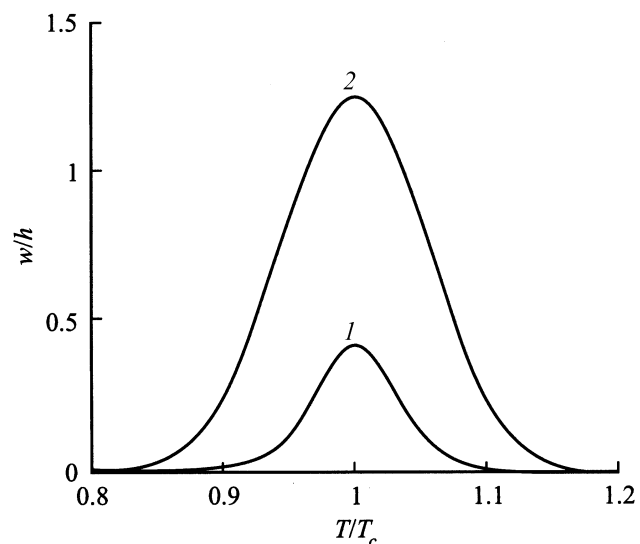
При его записи принято во внимание, что на контуре мембраны  $w_M = 0$ . На рис. 4, b показаны зависимости  $\omega_M(r)$ , соответствующие зависимостям углов пластического поворота от радиуса, приведенным на рис. 4, a. Для сравнения показана также зависимость упругого прогиба мембраны от радиуса согласно формуле (3) (кривая 1).

Образование пластического шарнира на краях мембраны значительно (в несколько раз) увеличивает прогиб центральной части мембраны по сравнению с ее упругим прогибом в этом месте. В связи с этим интересно сравнить величину максимального пластического прогиба центра мембраны  $w_M^{\max} = \bar{w}(0, p, t)h$  с величиной максимального упругого прогиба мембраны в случае закрепления краев мембраны на шарнирной опоре. Расчет показывает [15], что упругий прогиб шарнирно закрепленной мембраны в  $(5 + \nu)/(1 + \nu) \approx 4$  раза больше максимального упругого прогиба защемленной мембраны  $w_e^{\max}$ . Эта цифра сопоставима с величиной отношений прогибов  $w_M^{\max}/w_e^{\max} = 1.5$  и  $4.9$  на рис. 4, b. Расчет показывает, что при температуре  $T = T_c$  и давлении  $P = 10^{-2}E_*$  более половины материала мембраны переходит в мартенситное состояние. Величина отношения  $w_M^{\max}/w_e^{\max}$  при этом равна 7.4.

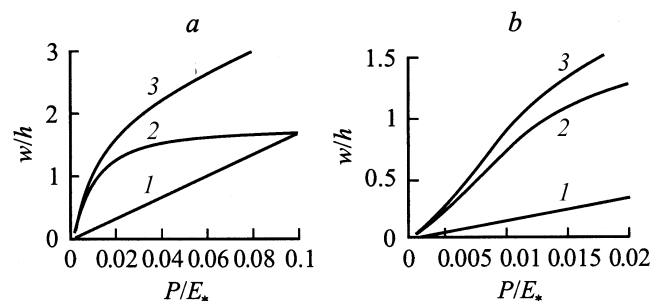
### Деформационные характеристики мембраны

Величина пластического прогиба мембраны зависит не только от приложенного к ней давления, но и от температуры. На рис. 5 показаны температурные зависимости относительного пластического прогиба мембраны  $w_M^{\max}/h$  согласно (13) при давлениях  $P = 2 \cdot 10^{-3}E_*$  (кривая 1) и  $10^{-2}E_*$  (кривая 2). Видно, что прогиб максимален при критической температуре  $T_c$  и стремится к нулю при переходе материала как в чисто мартенситное, так и аустенитное состояния.

Рис. 6, a демонстрирует зависимости максимальных упругого (кривая 1), пластического (кривая 2) и суммарного (кривая 3) прогибов мембраны от величины давления при температуре  $1.05T_c$  и изменении давления в широких пределах. Начальные участки кривых при меньших давлениях показаны на рис. 6, b. Как видно из рис. 6, a, при давлениях выше  $0.03E_*$  пластический прогиб мембраны достигает насыщения и перестает зависеть от величины давления. Из результатов расчета,



**Рис. 5.** Температурные зависимости пластических прогибов мембраны при давлениях  $P = 2 \cdot 10^{-3}E_*$  (1) и  $10^{-2}E_*$  (2).



**Рис. 6.** Зависимости упругого (1), пластического (2) и суммарного (3) прогибов мембраны от давления при температуре  $T = 1.05T_c$ . (a). Начальные участки кривых (1-3) (b).

приведенных на рис. 6, *b*, следует, что при температурах, близких к критической, пластический прогиб мембраны при сколь угодно малых давлениях превышает ее упругий прогиб.

Другая особенность пластического прогиба — нелинейная зависимость его от давления и большая величина при относительно малой величине давления. Как видно из рис. 4, *b*, 5 и 6, пластические прогибы при температурах, близких к критическим, по своей величине становятся сопоставимыми с толщиной мембраны. При таких прогибах в мембране наряду с изгибающими возникают радиальные растягивающие напряжения, зависящие от величины прогиба мембраны [15–17]. Это обстоятельство вносит дополнительные и значительные (нелинейные) коррективы в зависимость упругих прогибов мембраны от давления и требует специального расчета. Это замечание касается и больших пластических прогибов мембран из материалов с памятью формы.

Таким образом, теория размытых мартенситных переходов позволяет произвести полный расчет деформационных характеристик мембраны из материала с памятью формы и найти их зависимость от температуры и приложенного к мембране давления.

## Список литературы

- [1] Шимизу К., Оцука К. Эффекты памяти формы в сплавах. М.: Наука, 1979. 232 с.
- [2] Лихачев В.А., Кузмин С.Л., Каменцева З.П. Эффект памяти формы. Л.: ЛГУ, 1987.
- [3] Пушкин В.Г., Коноратьев В.В., Хачин В.Н. Никелид титана. М.: Наука, 1992. 161 с.
- [4] Эффекты памяти формы и их применение в медицине / Под ред. В.Р. Гюнтер. Новосибирск: Наука, 1992. 567 с.
- [5] Shape Memory Alloys / Ed. H. Funakubo. Vol. 1–2. New York: Gordon and Breach, 1984.
- [6] Materials for Smart Systems II / Ed. E.P. George, R. Gotthardt, K. Otsuka et al. Vol. 459. Pittsburg: MRS, 1997.
- [7] Roytburd A.L., Kim T.A., Su Q., Slutsker J., Wuttig M. // Acta Mater. 2000. Vol. 46. N 14. P. 5095–5107.
- [8] Малыгин Г.А. // ФТТ. 2001. Т. 43. Вып. 7. С. 1286–1291.
- [9] Малыгин Г.А. // ЖТФ. 2001. Т. 71. Вып. 9. С. 33–37.
- [10] Spearing S.M. // Acta Mater. 2000. Vol. 48. N 1. P. 179–196.
- [11] Волков А.Е., Евард М.Е., Курзенева Л.Н., Лихачев В.А. и др. // ЖТФ. 1996. Т. 71. Вып. 9. С. 3–35.
- [12] Малыгин Г.А. // ФТТ. 1994. Т. 36. Вып. 5. С. 1489–1501.
- [13] Малыгин Г.А. // ЖТФ. 1996. Т. 71. Вып. 9. С. 112–123.
- [14] Малыгин Г.А. // УФН. 2001. Т. 171. Вып. 2. С. 187–212.
- [15] Федосеев В.И. Сопротивление материалов. М.: Наука, 1972. 544 с.
- [16] Андреева Л.Е. Упругие элементы приборов. М.: Машиностроение, 1981. 144 с.
- [17] Вольмир А.С. Устойчивость деформируемых систем. М.: Наука, 1967. 984 с.